

Jeudi 16 décembre 2004

# Contribution à la théorie des interféromètres atomiques

**Charles ANTOINE**

Équipe de Relativité Gravitation et Astrophysique (ERGA)  
LERMA, Observatoire de Paris, Université Pierre et Marie Curie  
(sous la direction de Ch. J. BORDÉ)



# Plan

- 1. Introduction**
- 2. Formalisme ABCD**
- 3. Séparatrices laser**
- 4. Calcul du déphasage**
- 5. Application**
- 6. Conclusions & perspectives**

# Ondes de matière

De Broglie (1923) :

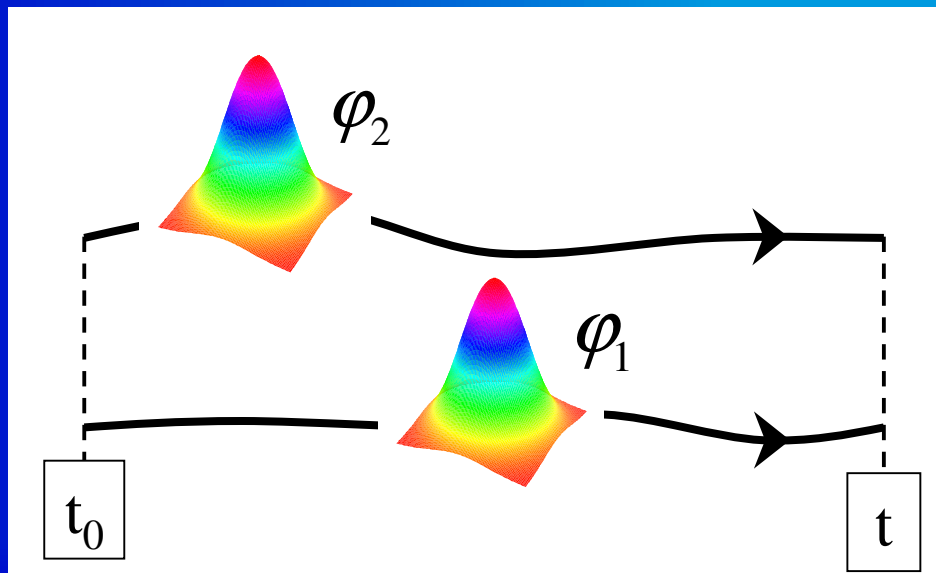
$$\lambda_{DB} = \frac{h}{mv}$$

⇒ **évolution** de paquets d'**ondes** matériels

$$H = \frac{\vec{p}^2}{2m} + V(\vec{r}, \vec{p}, t)$$

Phase locale associée:

$$\varphi(\vec{r}, t)$$



$$\Rightarrow \varphi_2(t) - \varphi_1(t)$$

contient la **signature**

du potentiel  $V(\vec{r}, \vec{p}, t)$

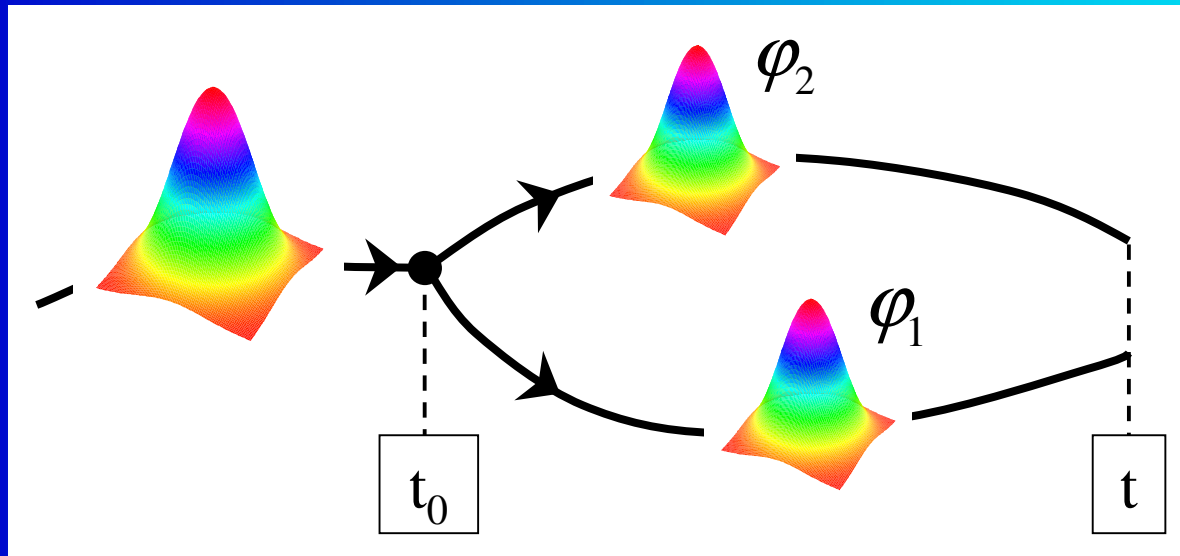
# Cohérence ?

de  $t_0$  à  $t$ :

évolution cohérente

à  $t_0$ :

2 sources cohérentes (BEC)



*ou...*

**séparation cohérente**  
d'un unique  
nuage initial

**Comment ?**

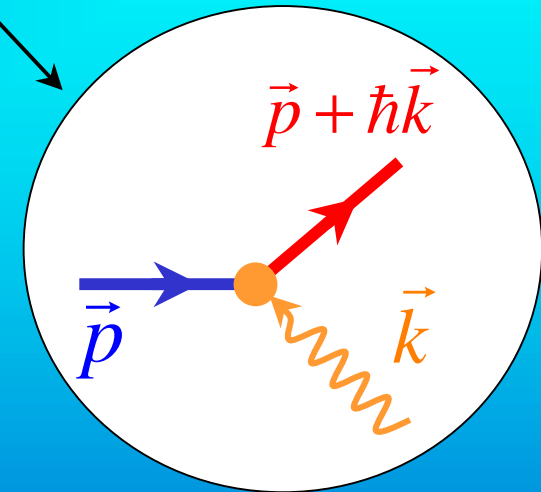
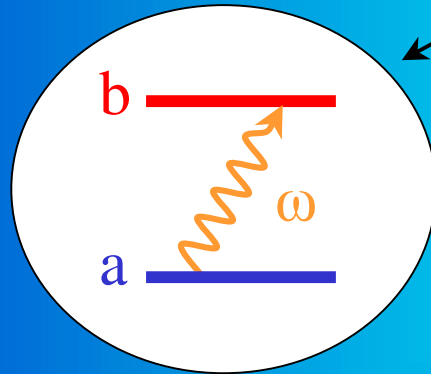
**Diffraction par des structures matérielles**  
...ou **lumineuses**

**interactions lumière-matière**  $\implies$  absorption/émission de photons

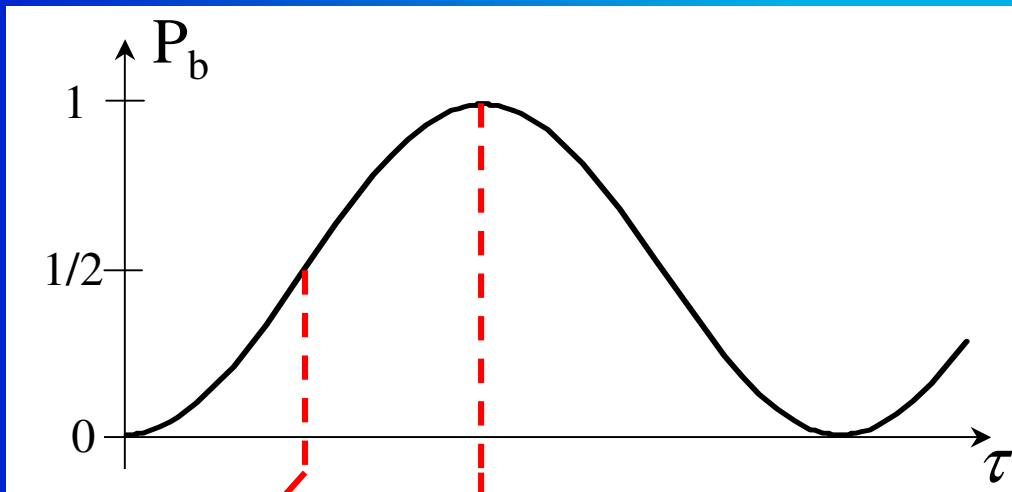
# Séparatrices laser

Changement d'état **interne** et **externe**

⇒ oscillations de Rabi:



⇓  
effet de recul



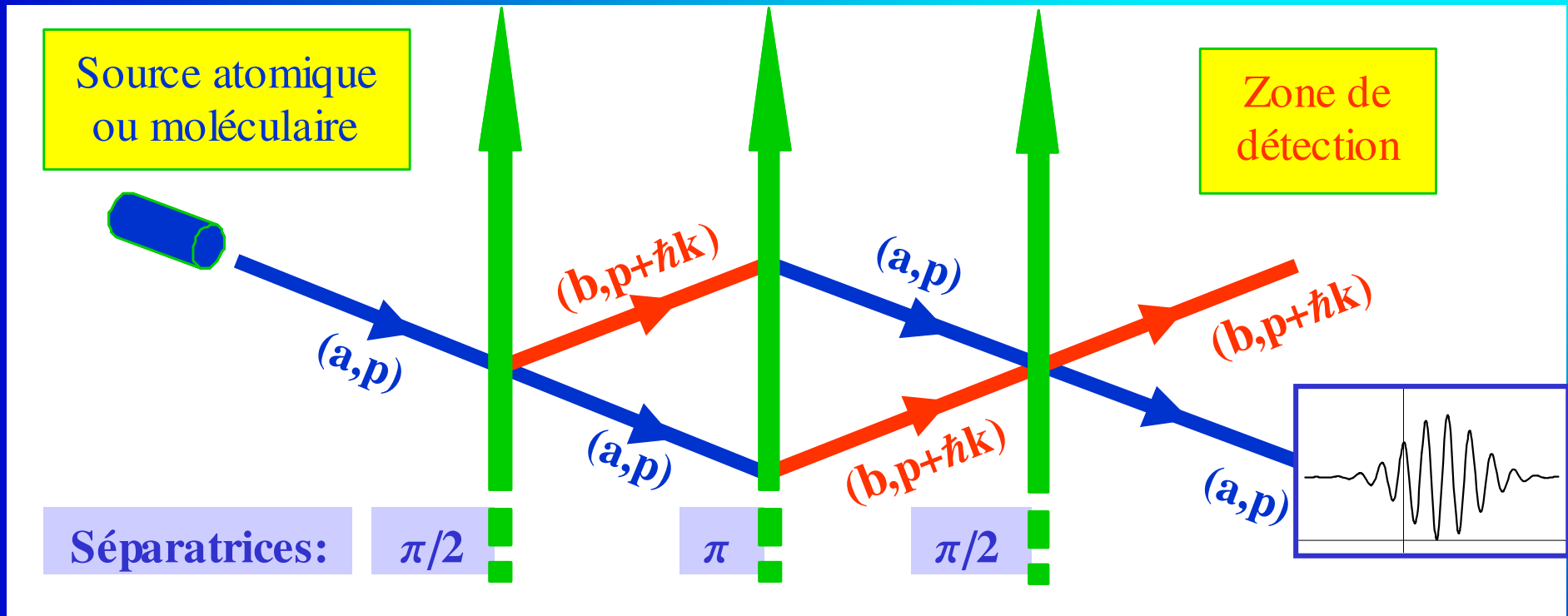
lame 50/50

miroir

⇒ « séparatrices à ondes de matière »

# Interféromètre à ondes de matière

Cœur: séparatrices et zones sombres



⇒ Signal de franges:

$$S = S_0 \left( 1 + e^{-\eta} \cdot \cos(\Delta\phi) \right)$$

# Applications

- mesure d'accélération, de rotations, de champs gravitationnels  
⇒ **navigation, géodésie, géophysique**
- mesure de fréquences ⇒ **horloges atomiques**
- mesure de **propriétés atomiques ou moléculaires**
- mesure de certaines **constantes de la Physique** ⇒  $G, \alpha \dots$
- test de **théories fondamentales** ⇒  $\Omega_{LT}, GW, \text{variation de } \alpha, \text{ principe d'équivalence} \dots$

⇒ sensibilité, précision et stabilité exceptionnelles

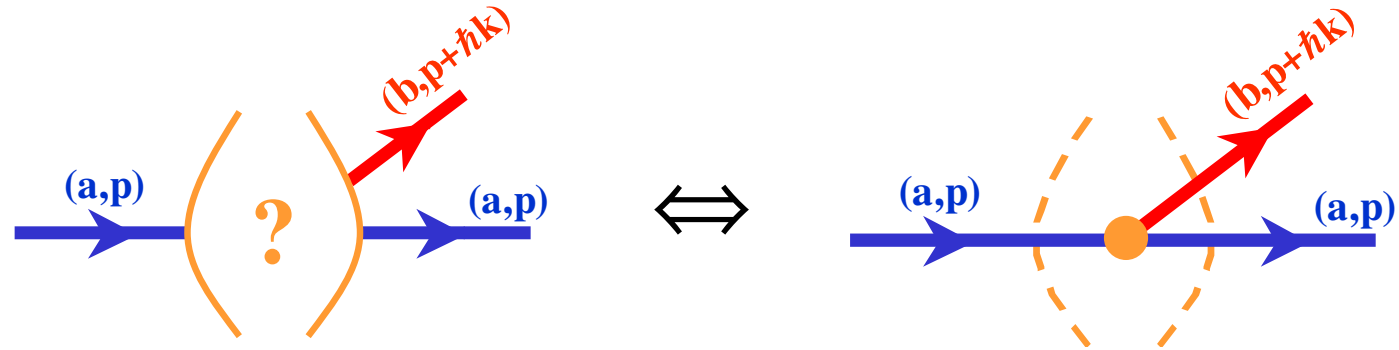
**méthodes de calcul du déphasage compatibles ?**

**NON**

# Modélisations des séparatrices

Pendant  
longtemps:

- modélisation très simplifiée des séparatrices



Étape  
intermédiaire:

- en champ fort et en présence d'une accélération  $\mathbf{g}$  uniforme et constante

**Présent  
travail:**

- en **champ fort** et en présence d'**accélération**s, de **gradients** et de **rotation**s: «  $\mathbf{g} + \boldsymbol{\gamma} + \boldsymbol{\Omega}$  »
- **structuration dispersive** en présence de ces champs extérieurs



# Méthodes de calcul du déphasage

Pendant  
longtemps:

- calcul à la Feynman: - ondes planes  
- calcul perturbatif:  $g + \gamma_{\text{perturb}}$

Bordé (1990):

- **formalisme ABCD:** - vrais paquets d'ondes  
- calculs non-perturbatifs

**Présent  
travail:**

- notion de **chemins homologues** et mise en évidence d'**invariants caractéristiques**

⇒ **effet simultané de plusieurs champs  
inertiels et gravitationnels**

( ⇒ «  $g + \gamma + \Omega$  » exact )

⇒ applicable à **tous types d'interféromètres**

⇒ **origine des simplifications** essentielles  
observées dans l'expression du déphasage

# Une nécessité...

⇒ mise en évidence de **corrections d'ordre supérieur**

	Précision et sensibilité actuelles:	1ères corrections pertinentes: (effets inertiels et gravitationnels)
• gyromètre ( $\text{rad.s}^{-1}.\text{Hz}^{-1/2}$ )	$6.10^{-10}$	$7.10^{-10}$ : gradient de gravité
• gravimètre ( $\Delta g/g$ )	$3.10^{-9}$	$1.10^{-10}$ : gradient $\times$ rotation
• mesure de $\alpha$	$7.10^{-9}$	$8.10^{-9}$ : gradient de gravité
• horloges opt. ( $\Delta\nu/\nu$ )	$< 10^{-14}$	$3.10^{-17}$ : gradient de gravité



**corrections** dues à la prise en compte de la **structuration dispersive** ayant lieu dans chaque séparatrice de l'interféromètre

# Plan

1. Introduction
- 2. Formalisme ABCD**
3. Séparatrices laser
4. Calcul du déphasage
5. Application
6. Conclusion & perspectives

# Formalisme ABCD

théorème ABCD

Méthode de la fonction génératrice

« évolution de vrais paquets d'ondes atomiques en présence de potentiels au plus quadratiques en  $\mathbf{r}$  et  $\mathbf{p}$  »

Matrices ABCD

effets usuels:

$$H_{ext} = \frac{1}{2m} \vec{p} \cdot \left( \vec{1} + \vec{h}(t) \right) \cdot \vec{p} - \vec{\Omega}(t) \cdot (\vec{r} \times \vec{p}) - m \vec{g}(t) \cdot \vec{r} - \frac{m}{2} \vec{r} \cdot \vec{\gamma}(t) \cdot \vec{r}$$

ondes gravit.  
(jauge d'Einstein)

rotation

gravité  
uniforme

gradient  
de gravité

# Matrices ABCD

= solution **classique** des équations de Hamilton

$$\begin{pmatrix} \vec{r}(t) \\ \vec{p}(t)/m \end{pmatrix} = \begin{pmatrix} A(t,t_0) & B(t,t_0) \\ C(t,t_0) & D(t,t_0) \end{pmatrix} \cdot \begin{pmatrix} \vec{r}(t_0) \\ \vec{p}(t_0)/m \end{pmatrix} + \begin{pmatrix} \vec{\xi}(t,t_0) \\ \vec{\phi}(t,t_0) \end{pmatrix}$$

termes quadra. de  $H_{\text{ext}}$

termes lin. de  $H_{\text{ext}}$

$\implies$  pas de solution analytique dans le cas général

Cas particuliers:

- cas libre
- $\mathbf{g}$  seul,  $\gamma$  seul,  $\mathbf{\Omega}$  seul, «  $\mathbf{g} + \gamma$  »
- $H_{\text{ext}}$  indép. du temps  $\implies$  «  $\mathbf{g} + \gamma + \mathbf{\Omega}$  »

# Théorème ABCD

= généralisation du théorème d'Ehrenfest

$$\begin{pmatrix} A & B \\ C & D \end{pmatrix}$$

$$\psi(\vec{r}, t_1) = wp(\vec{r}, t_1 ; \vec{r}_1, \vec{p}_1, X_1, Y_1)$$

structure  
identique

$$\psi(\vec{r}, t_2) = e^{\frac{i}{\hbar} S_{cl}(t_2, t_1, \vec{r}_1, \vec{p}_1)} \cdot wp(\vec{r}, t_2 ; \vec{r}_2, \vec{p}_2, X_2, Y_2)$$

**loi linéaire identique**

pour les centres:

$$\begin{pmatrix} \vec{r}_2 \\ \vec{p}_2 / m \end{pmatrix} = \begin{pmatrix} A_{21} & B_{21} \\ C_{21} & D_{21} \end{pmatrix} \cdot \begin{pmatrix} \vec{r}_1 \\ \vec{p}_1 / m \end{pmatrix} + \begin{pmatrix} \vec{\xi}_{21} \\ \vec{\phi}_{21} \end{pmatrix}$$

...et pour les largeurs:

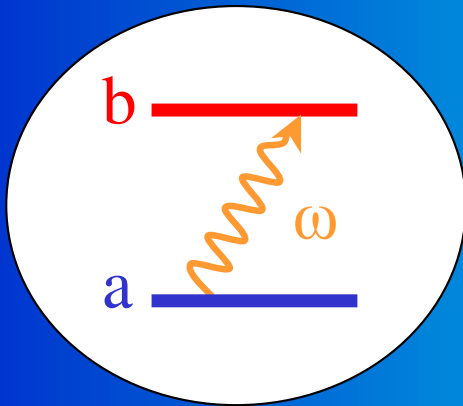
$$\begin{pmatrix} X_2 \\ Y_2 \end{pmatrix} = \begin{pmatrix} A_{21} & B_{21} \\ C_{21} & D_{21} \end{pmatrix} \cdot \begin{pmatrix} X_1 \\ Y_1 \end{pmatrix}$$

# Plan

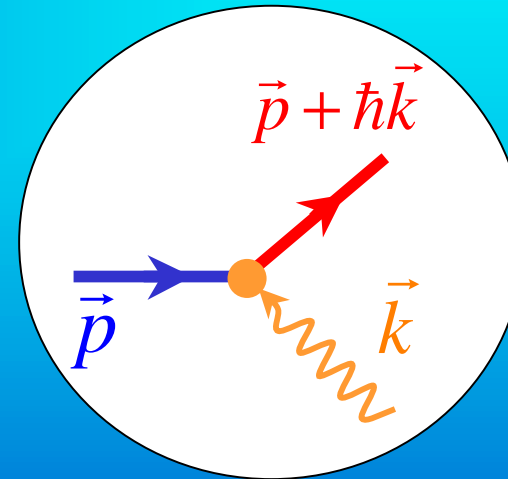
1. Introduction
2. Formalisme ABCD
- 3. Séparatrices laser**
4. Calcul du déphasage
5. Application
6. Conclusion & perspectives

# Deux niveaux effectifs... (1)

Atome à 2 niveaux  
soumis à une onde laser quasi-résonnante



changement  
d'énergie

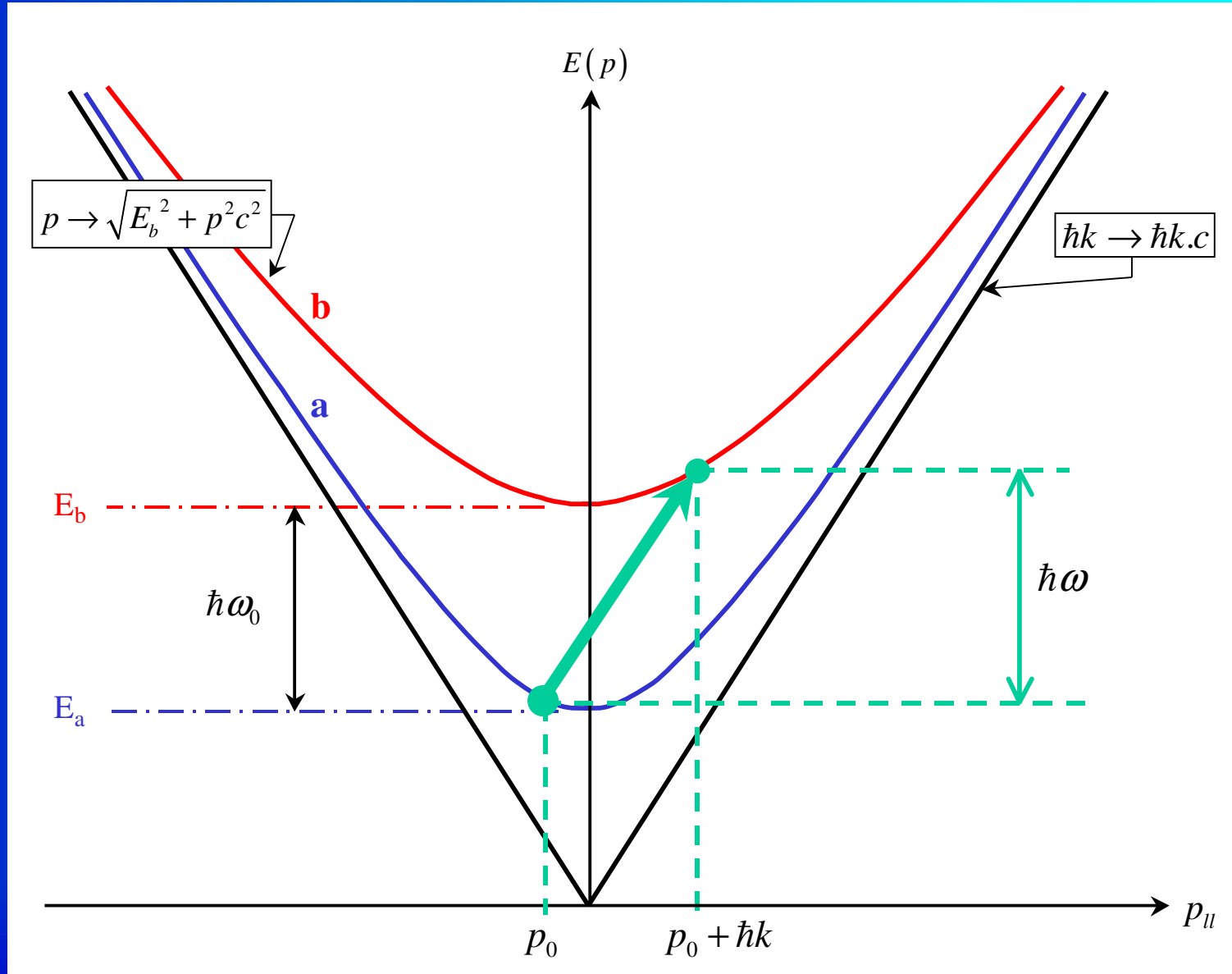


changement  
d'impulsion

$\Rightarrow$  diagramme d'énergie-impulsion



# Deux niveaux effectifs... (2)



## Deux niveaux effectifs... (3)

Condition de résonance (cas libre):

$$\omega - \omega_0 \left( \sqrt{1 - v^2 / c^2} \right) - \vec{k} \cdot \left( \frac{\vec{p}}{m} + \frac{\hbar \vec{k}}{2m} \right) = 0$$

désaccord

Doppler 2<sup>ème</sup>

Doppler 1<sup>er</sup>

énergie  
de recul

# Position du problème

+ cadre usuel:

- approximation dipolaire (sans spin)
- processus de relaxation négligés
- approximation des ondes tournantes

⇒

$$i\hbar\partial_t |\psi(t)\rangle = \left( H_0 + H_{ext}(\vec{r}_{op}, \vec{p}_{op}, t) + V_{em}(\vec{r}_{op}, t) \right) |\psi(t)\rangle$$

champs inertiels et gravitationnels

~~$$|\psi(t)\rangle = e^{\frac{1}{i\hbar} \int_{t_0}^t H(\vec{r}_{op}, \vec{p}_{op}, t') dt'} |\psi(t_0)\rangle$$~~

**Pb: double raison de non-commutation:**

$$\left[ H(\vec{r}_{op}, \vec{p}_{op}, t), H(\vec{r}_{op}, \vec{p}_{op}, t') \right] \neq 0$$

# Changement de référentiel

transfo. unitaires:

$$|\psi\rangle = U |\varphi\rangle$$

$\Rightarrow$  référentiel de  
moindre mouvement:

$$\partial_t |\varphi(t)\rangle = iM_{op}(t) |\varphi(t)\rangle$$

$$M_{op}(t) = \begin{pmatrix} \Delta_{op}(t) & \Omega_0 F_{op}(t) \\ \Omega_0 F_{op}(t) & 0 \end{pmatrix}$$

opérateur désaccord généralisé:

$$\begin{aligned} \Delta_{op}(t) &= \omega - \omega_0 - \vec{k} \cdot \frac{d}{dt} \left( A(t) \cdot \vec{r}_{op} + B(t) \cdot \frac{\vec{p}_{op}}{m} + \vec{\xi}(t) \right) - \frac{\hbar k^2}{2m} \\ &= \omega - \omega_0 - \vec{k} \cdot \frac{\vec{p}_{op}}{m} - \frac{\hbar k^2}{2m} - \vec{k} \cdot \vec{g} t - \vec{k} \cdot \left( \vec{\Omega} \times \left[ \vec{r}_{op} + 2 \frac{\vec{p}_{op}}{m} t \right] \right) - \vec{k} \cdot \vec{\gamma} \cdot \vec{r}_{op} t - \dots \end{aligned}$$

# Méthodes de résolution

$$\partial_t |\varphi(t)\rangle = iM_{op}(t) |\varphi(t)\rangle$$

$$[M_{op}(t), M_{op}(t')] \neq 0$$

**Comment résoudre le problème de double non-commutation:**

- **cas particuliers** exactement résolubles
- **développements:**
  - linéaire (Dyson)
  - non-linéaire (Magnus...)
  - **élimination opératorielle**
  - **états adiabatiques successifs**
- **approximations:**
  - rotations et gradients négligés
  - gravité compensée

# Schéma ttt généralisé

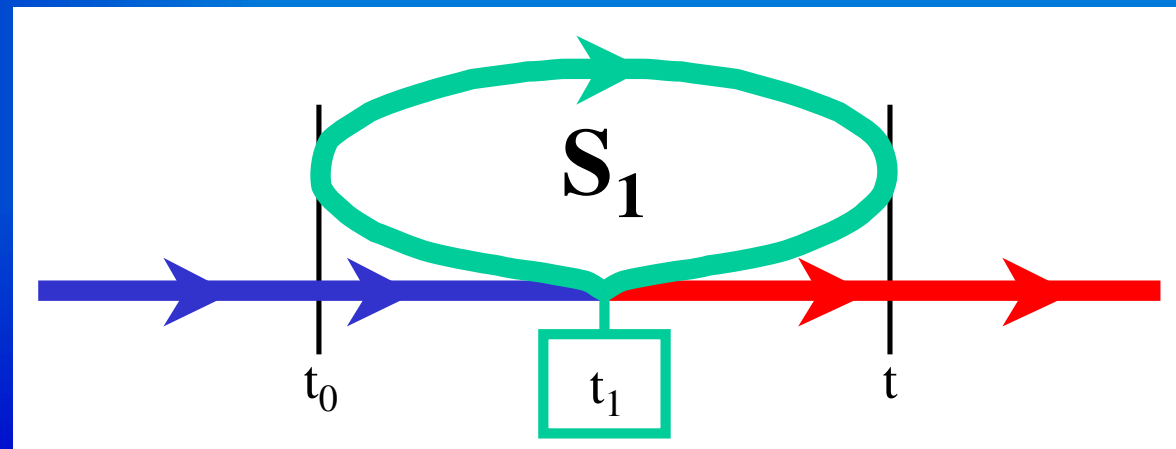
⇒ Retour dans le référentiel d'origine

$$|\psi(t)\rangle = U_{ext}(t, t_1) S_1(t, t_0) U_{ext}(t_1, t_0) |\psi(t_0)\rangle$$

évolution de  $t_1$  à  $t$

évolution de  $t_0$  à  $t_1$

interaction instantanée effective

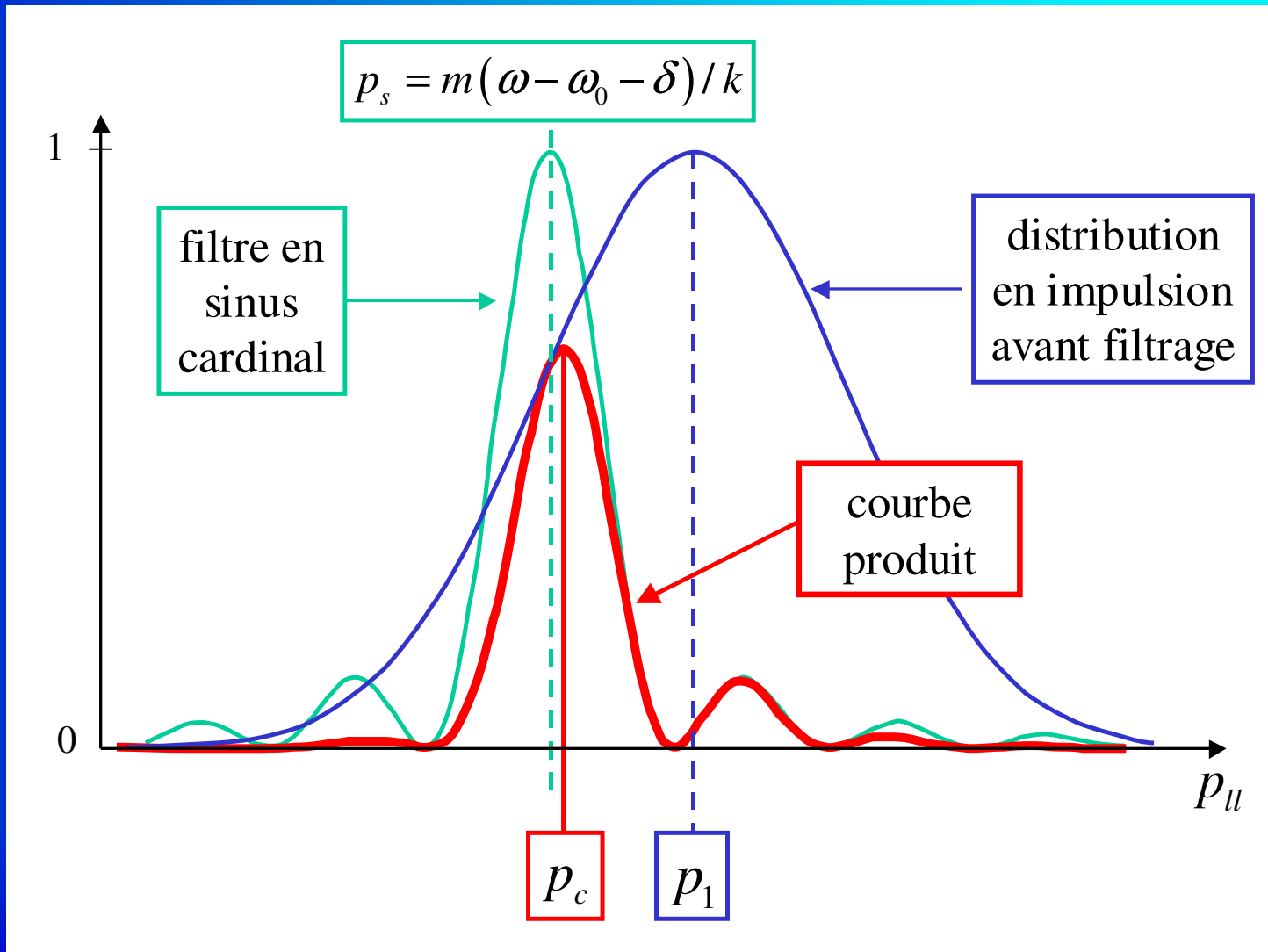


## Action du filtre $S_1$ sur $\psi(t_1)$

**Structuration**  
du paquet  
d'ondes  
initial:

- en **plusieurs paquets d'ondes**
- de formes différentes:
  - changement d'**amplitude**
  - **sélectivité** en vitesse transverse
  - **dispersion anormale**
- avec une modification de **position et d'impulsion centrales** pour **tous** les paquets d'ondes
- avec ajout d'une **phase laser effective**

# Structuration de la distribution en impulsion : lame $\pi$





# Modélisation *t**t**t* champ fort généralisée (1)

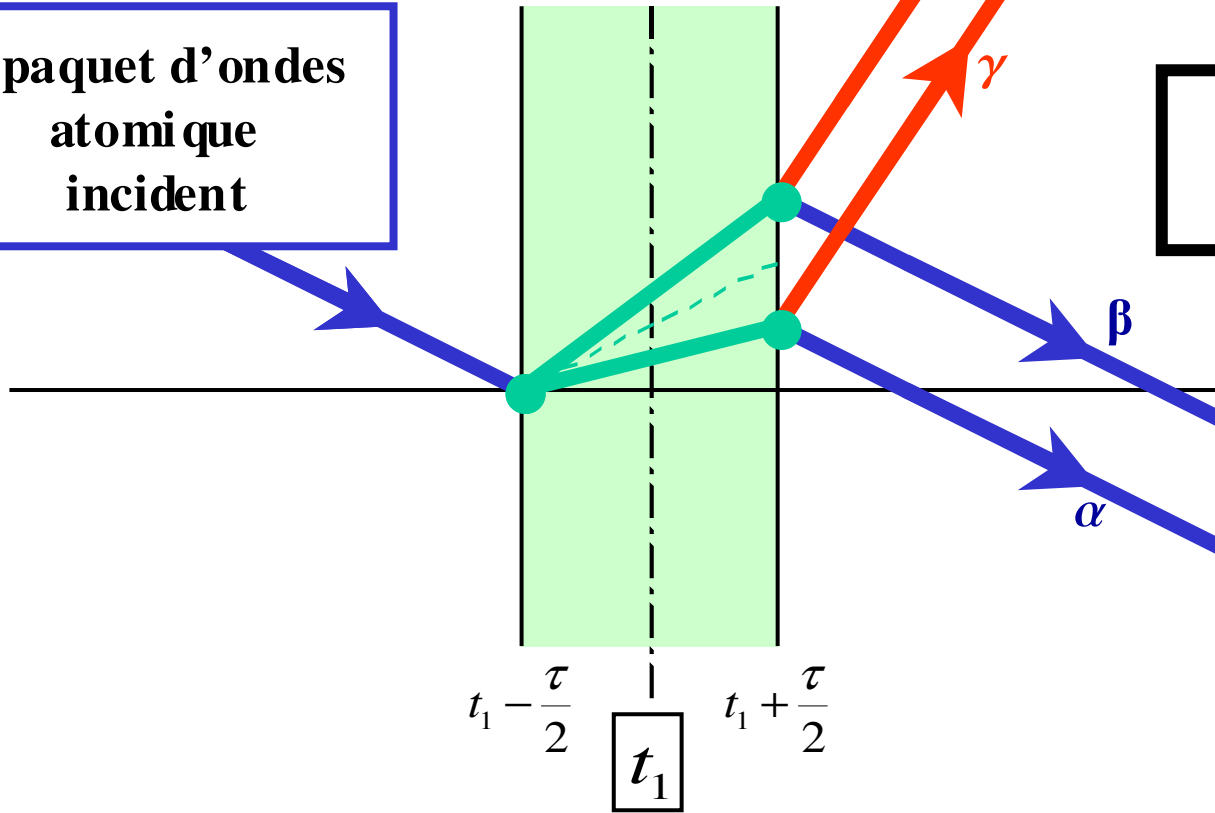
= Modélisation Gaussienne des paquets d'ondes principaux

avec changement d'état interne

1 paquet d'ondes atomique incident

4 paquets d'ondes atomique sortants

sans changement d'état interne

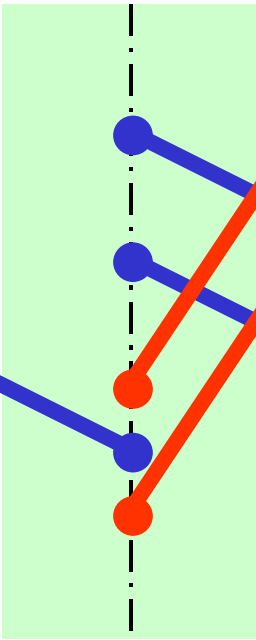


# Modélisation *ttt* champ fort généralisée (2)

= **Modélisation Gaussienne des paquets d'ondes principaux**

avec changement d'état interne

1 paquet d'ondes atomique incident



4 paquets d'ondes atomique sortants

sans changement d'état interne

# Modélisation *ttt* champ fort généralisée (3)

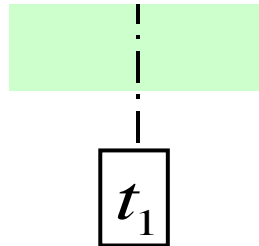
= **Modélisation Gaussienne des paquets d'ondes principaux**

$\delta$  avec changement d'état

1 paquet  
at  
ir

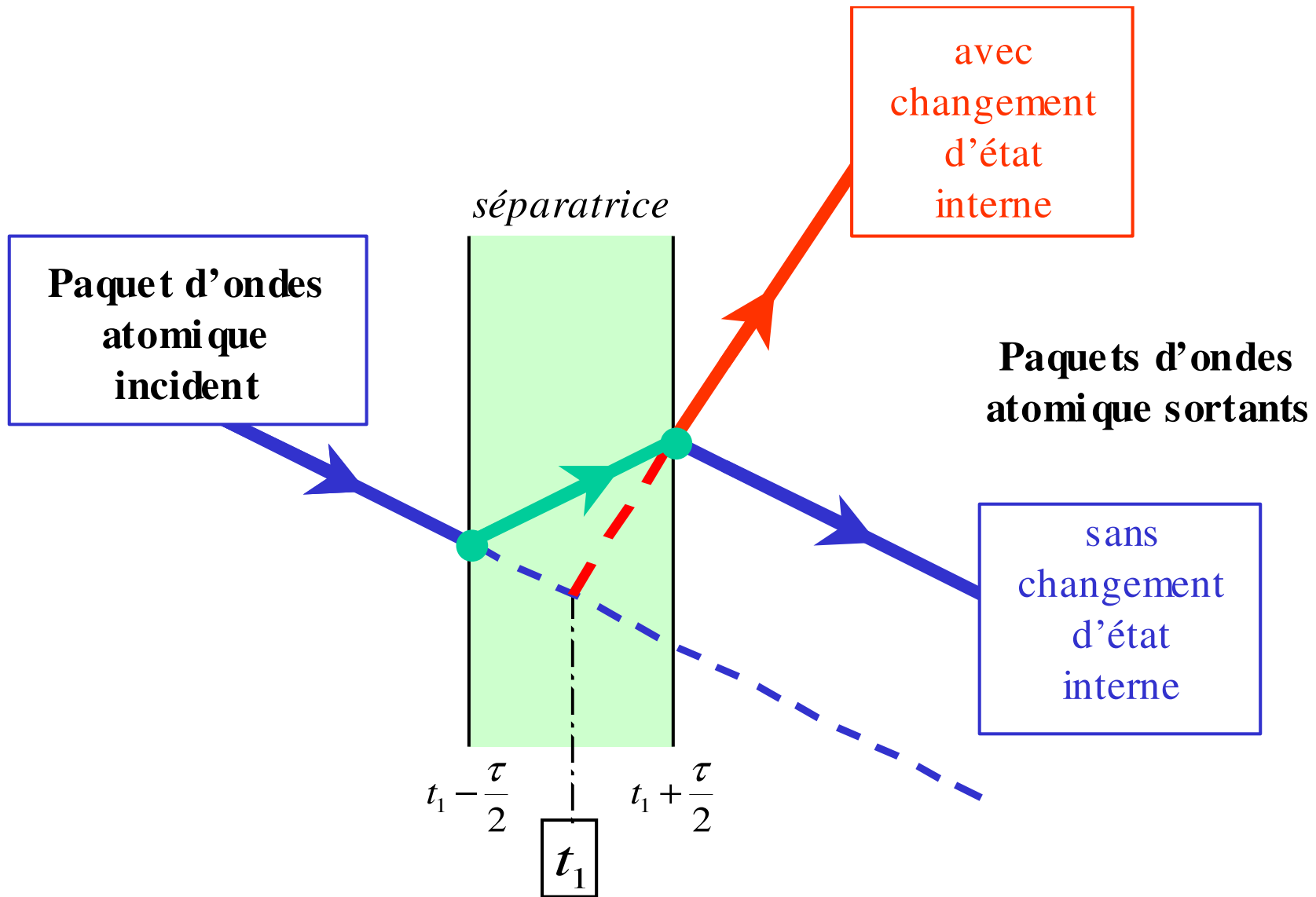
**résonance parfaite pour la porteuse atomique  
+ faible dispersion initiale en impulsion  
 $\implies$  Effet Borrmann généralisé**

des  
ants

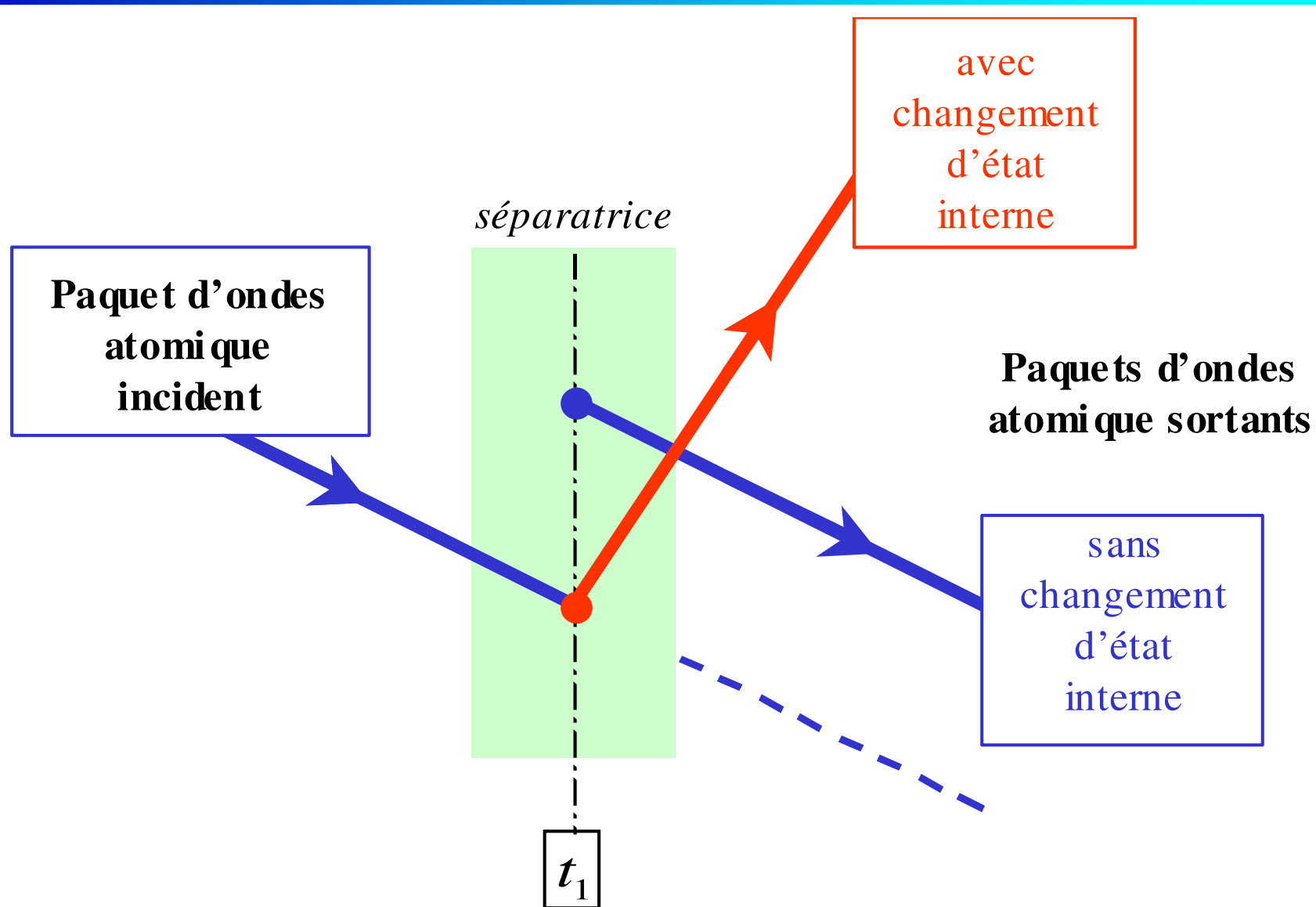


interne

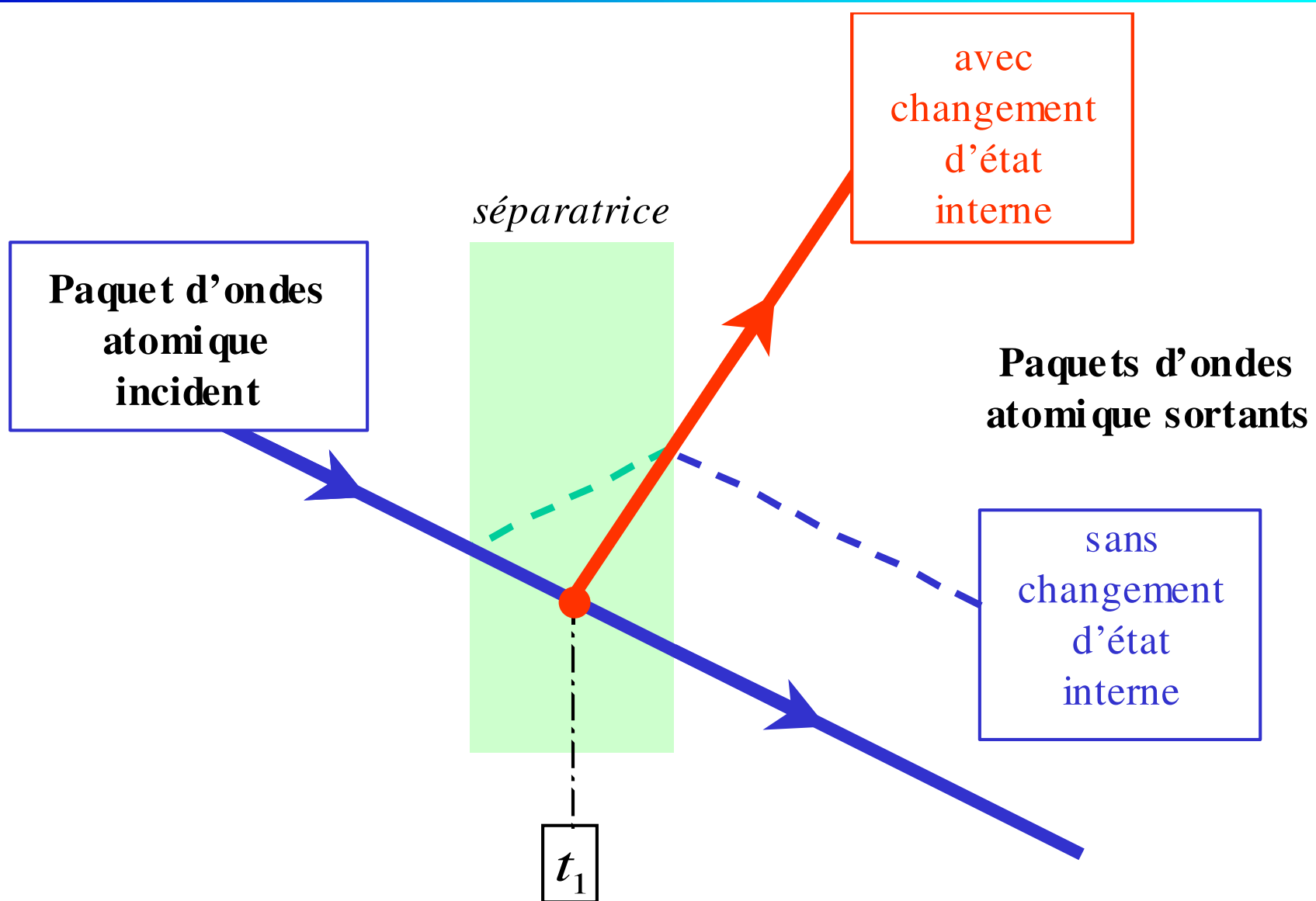
# Effet Borrmann généralisé (1)



# Effet Borrmann généralisé (2)



# Modélisations simplifiées antérieures



# Plan

1. Introduction
2. Formalisme ABCD
3. Séparatrices laser
- 4. Calcul du déphasage**
5. Application
6. Conclusion & perspectives

# Méthode antérieure de calcul du déphasage

En 3 étapes:

- 1) identifier les bras
- 2) calculer la phase accumulée par chacun des bras
- 3) en prendre la différence:  $\Delta\phi = \Delta\phi_{action} + \Delta\phi_{laser} + \Delta\phi_{sep}$

**Origine véritable du déphasage ?**

**Origine des compensations observées ?**

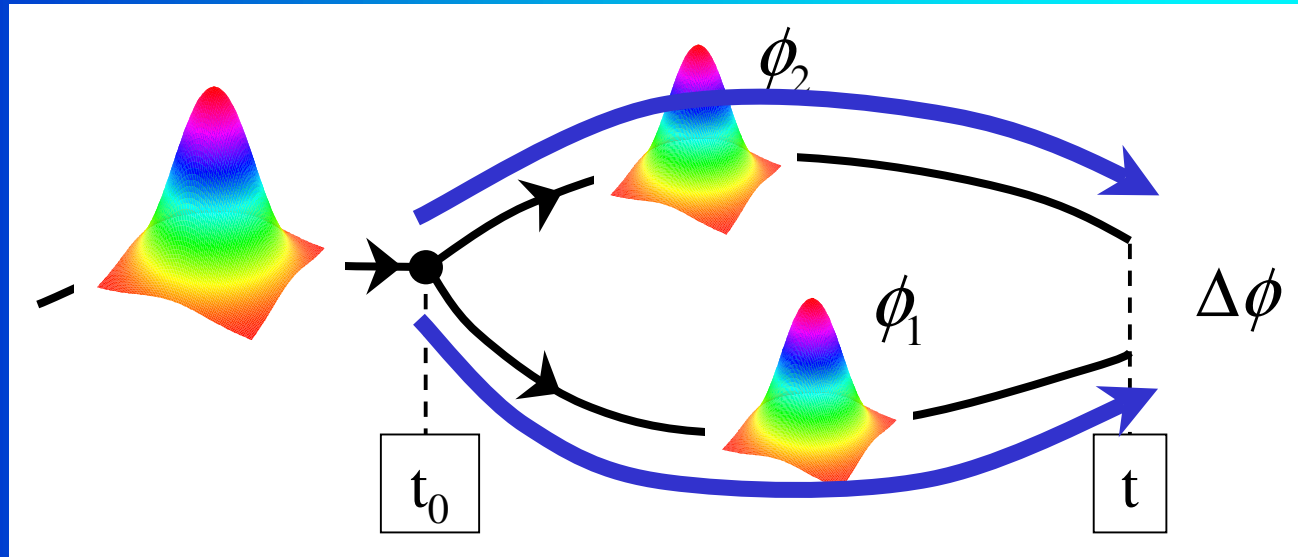
$$\Delta\phi_{action} + \Delta\phi_{sep} \approx 0$$

**Méthode de calcul plus pertinente ?**

**OUI**

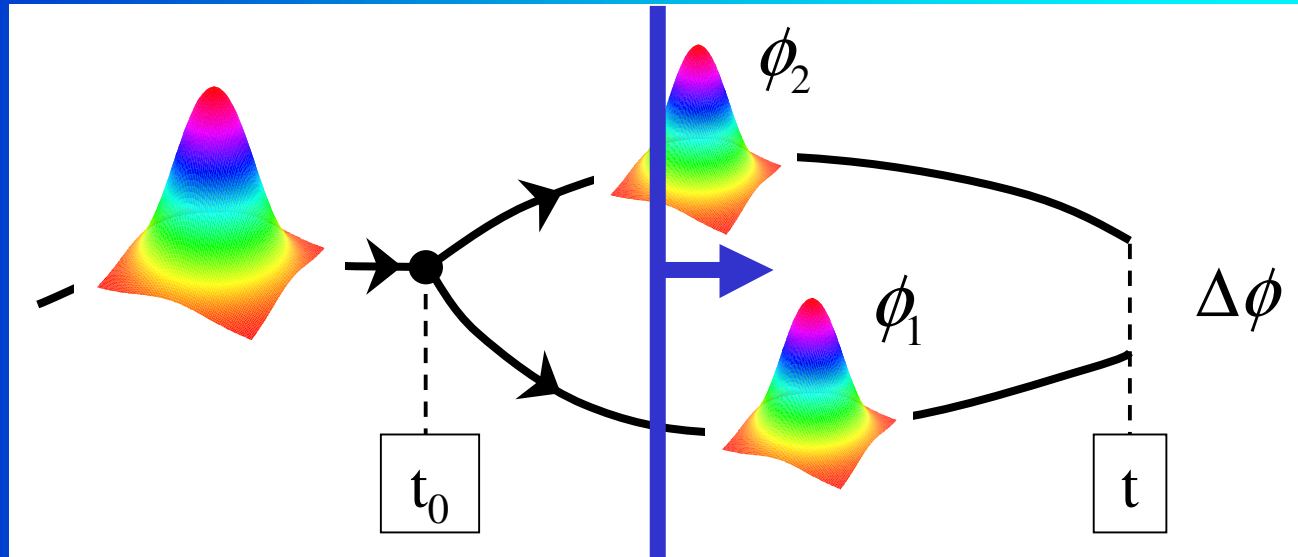


# Vision statique antérieure



Vision **statique** de deux **bras indépendants**

# Vision dynamique



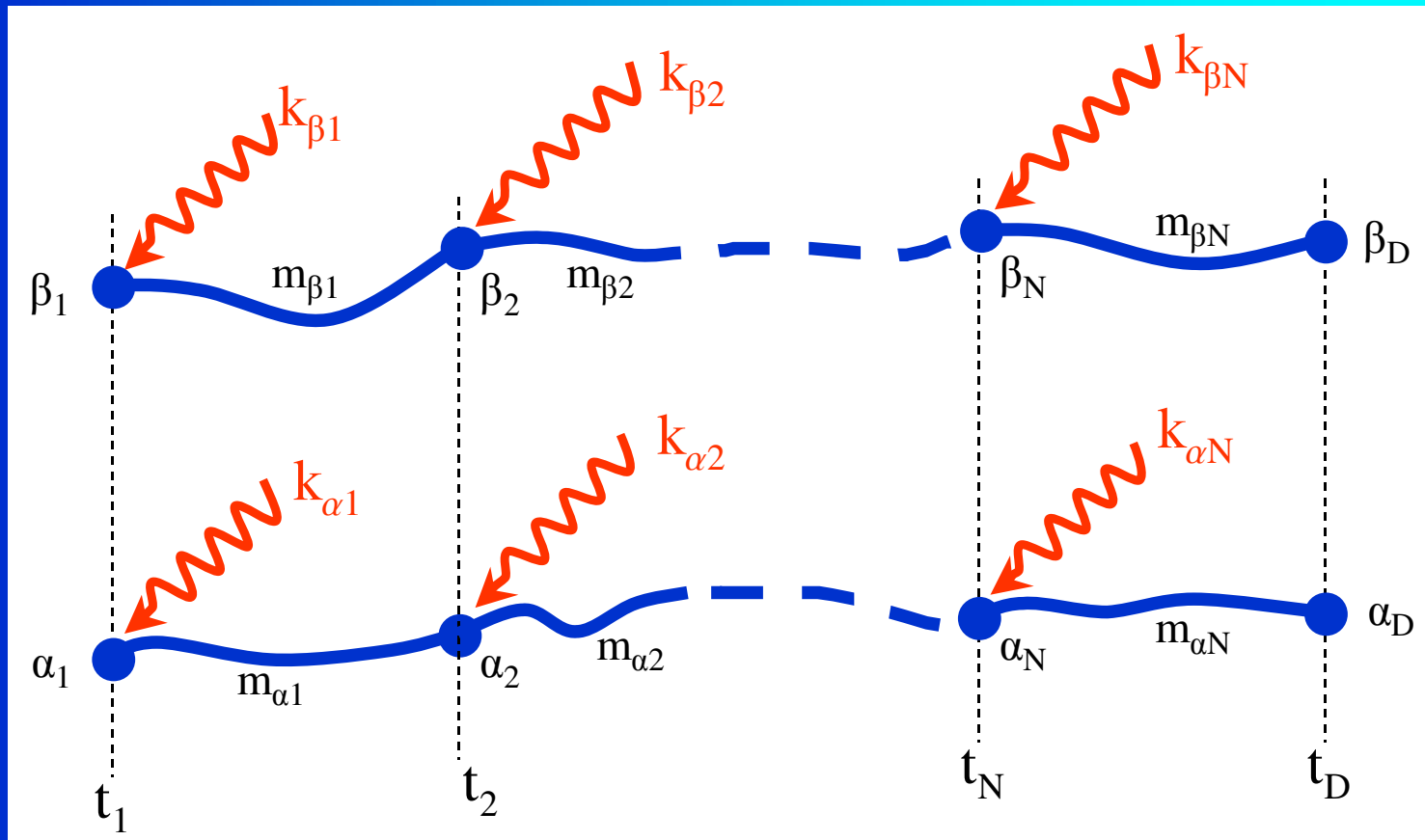
~~Vision statique de deux bras indépendants~~

**Vision dynamique d'une seule entité à plusieurs bras**

schéma ttt  $\implies$

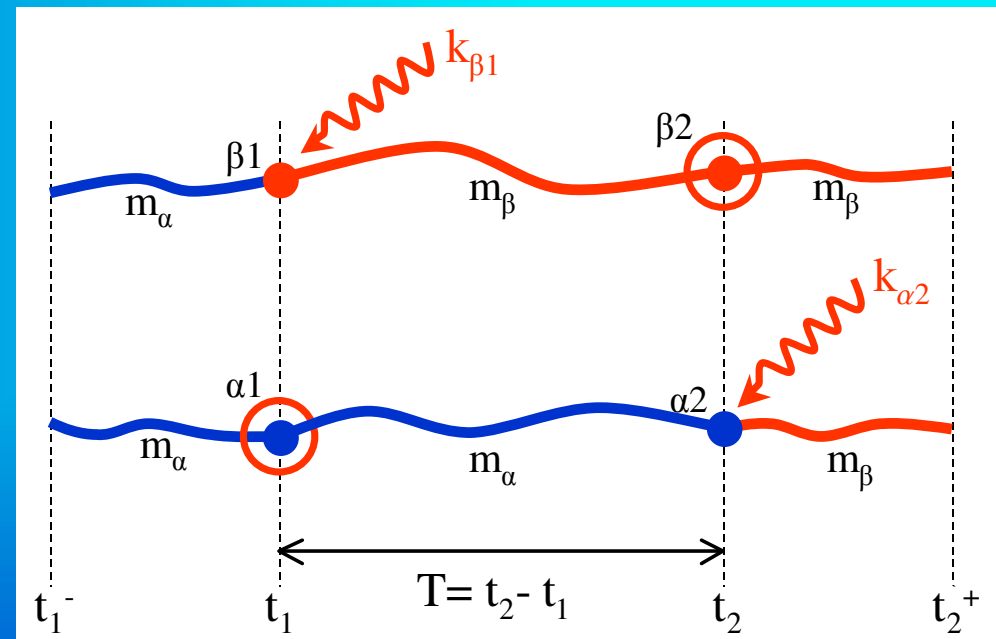
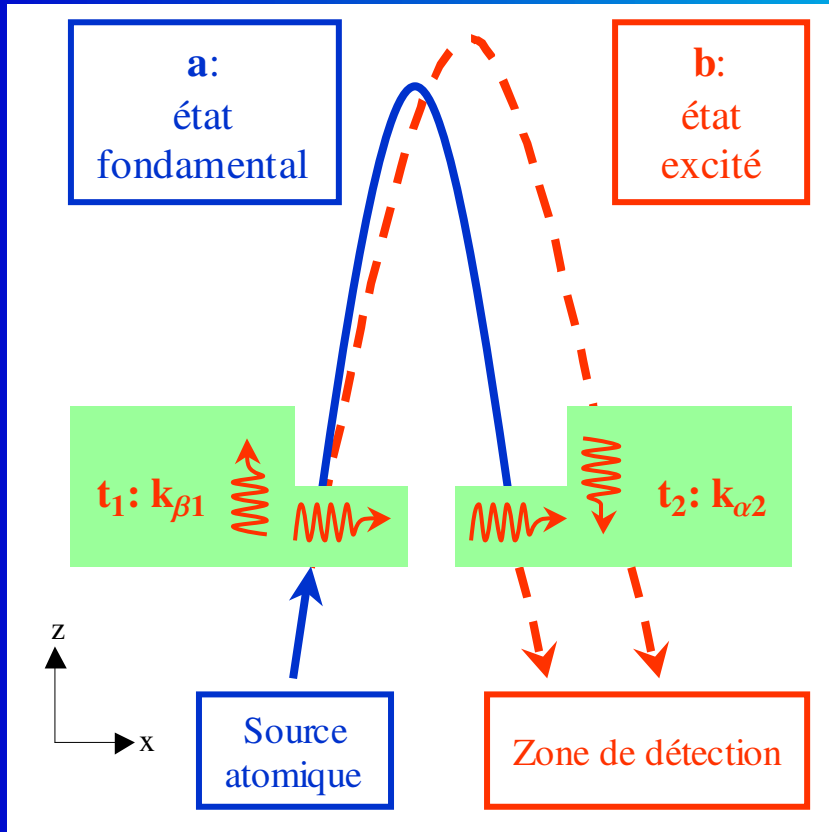
interf. ato. = succession de tranches temporelles

## Tranches temporelles



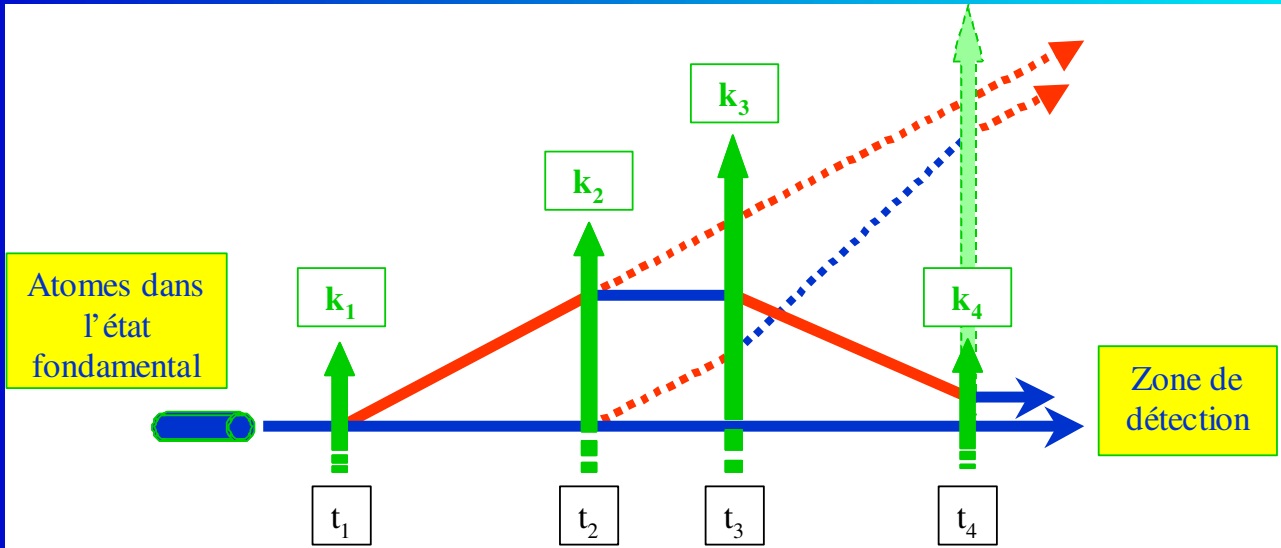
- valable pour toute géométrie d'interféromètre
- lorsqu'une interaction agit sur un seul bras, le  $\mathbf{k}$  correspondant à l'autre bras est pris nul

# Exemple 1: fontaine atomique

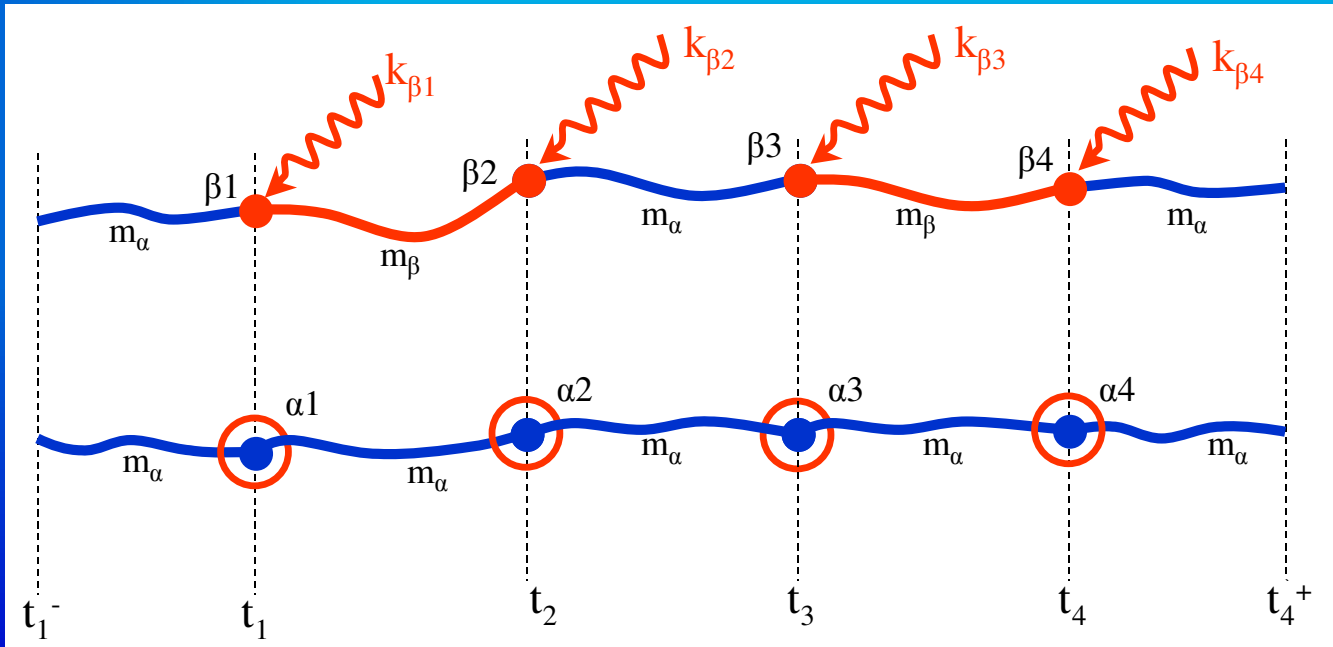


- 1 seule tranche temporelle
- 2 interactions instantanées équivalentes

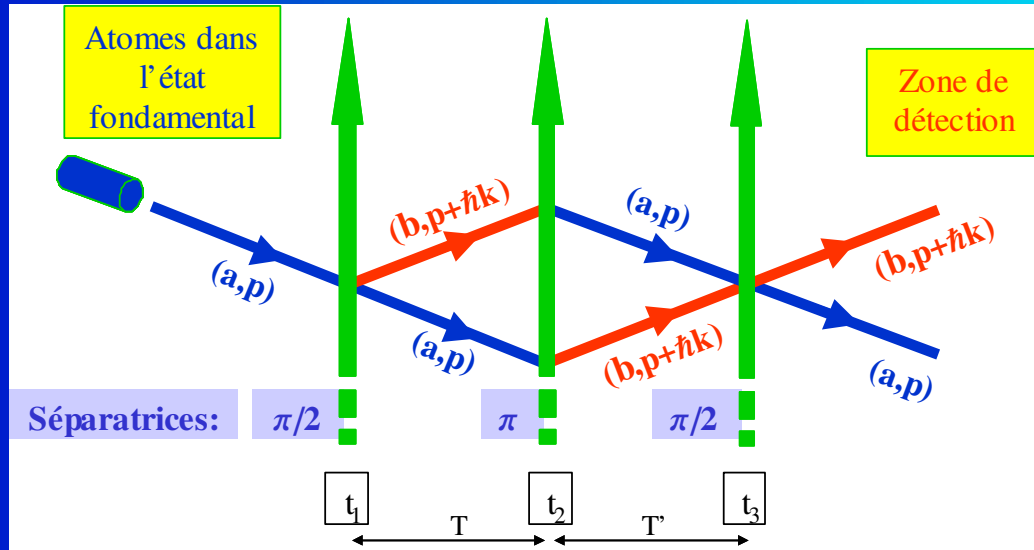
# Ex. 2: Ramsey-Bordé asymétrique



Horloges optiques, mesure de  $\alpha \dots$

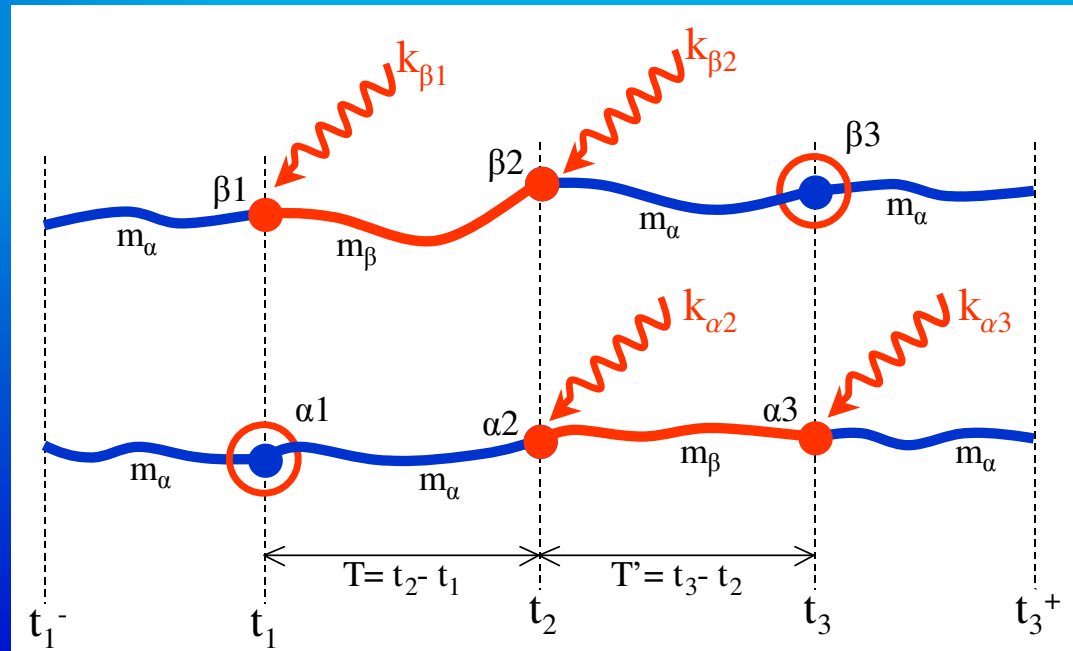


# Ex. 3: Ramsey-Bordé symétrique



Géométrie  
Mach-Zehnder

- 2 tranches temporelles
- 3 interactions instantanées équivalentes



# Chemins homologues

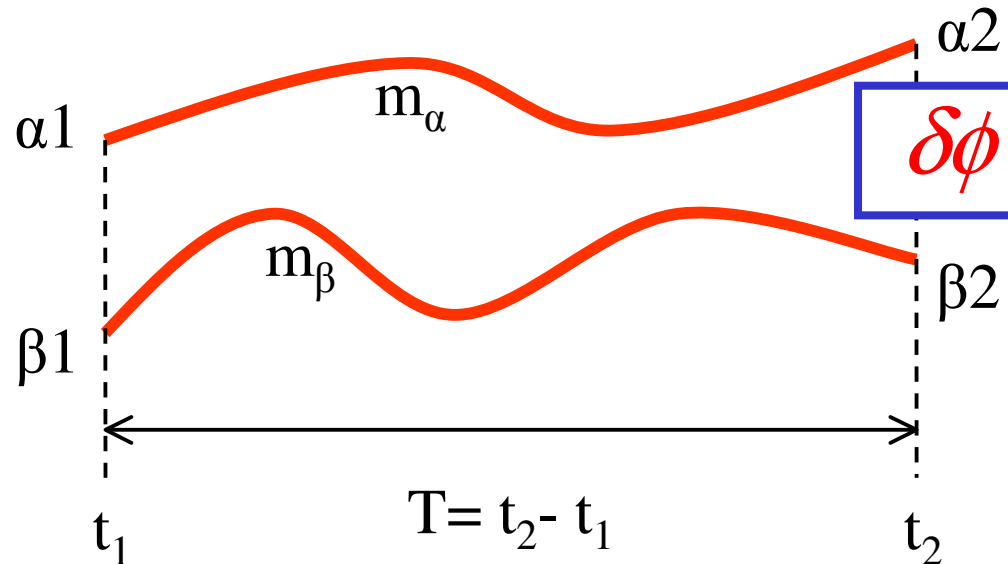
Signal de franges:

**somme des signaux** de sortie correspondant à chaque paire de bras

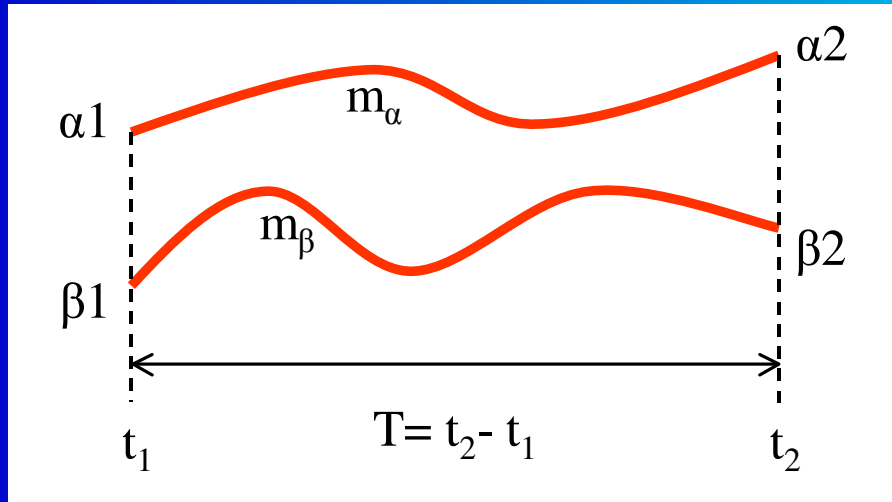
- 1) **Déphasage**
- 2) Amplitude et contraste
- 3) Distributions statistiques décrivant la source matérielle
- 4) Intégration sur le volume de détection

« Brique élémentaire »:

**paire de chemins homologues**



# Théorème des 4 points finaux



$\Rightarrow$  mise en évidence d'un invariant (symplectique) équivalent à l'étendue en optique

$\Rightarrow$  partie principale du déphasage:

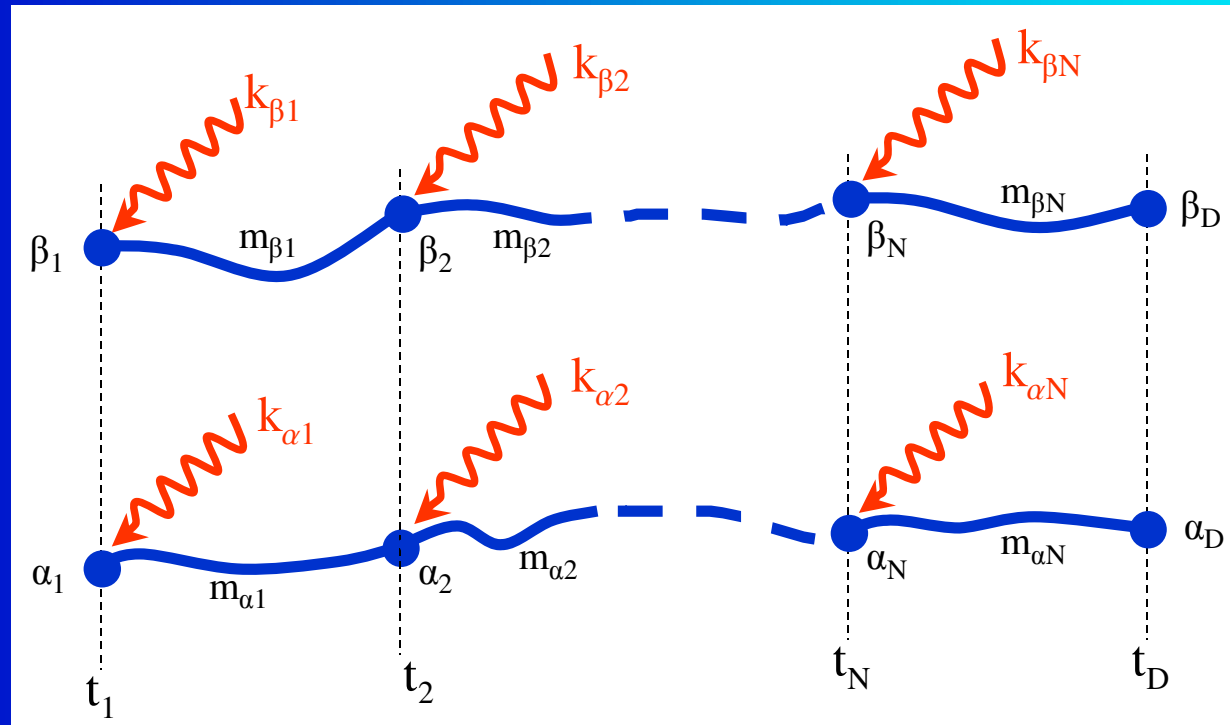
$$\hbar \delta\phi = (\vec{p}_{\alpha 2} - \vec{p}_{\beta 2}) \cdot \vec{Q}_2 - (\vec{p}_{\alpha 1} - \vec{p}_{\beta 1}) \cdot \vec{Q}_1 - (m_\beta - m_\alpha) c^2 \tau$$

points milieux:

$$\vec{Q}_i = \frac{\vec{r}_{\alpha i} + \vec{r}_{\beta i}}{2}$$



# Déphasage global



**Simplification si:**  
 point milieu de fin  
 de tranche  
 =  
 point milieu de  
 début de tranche  
 suivante

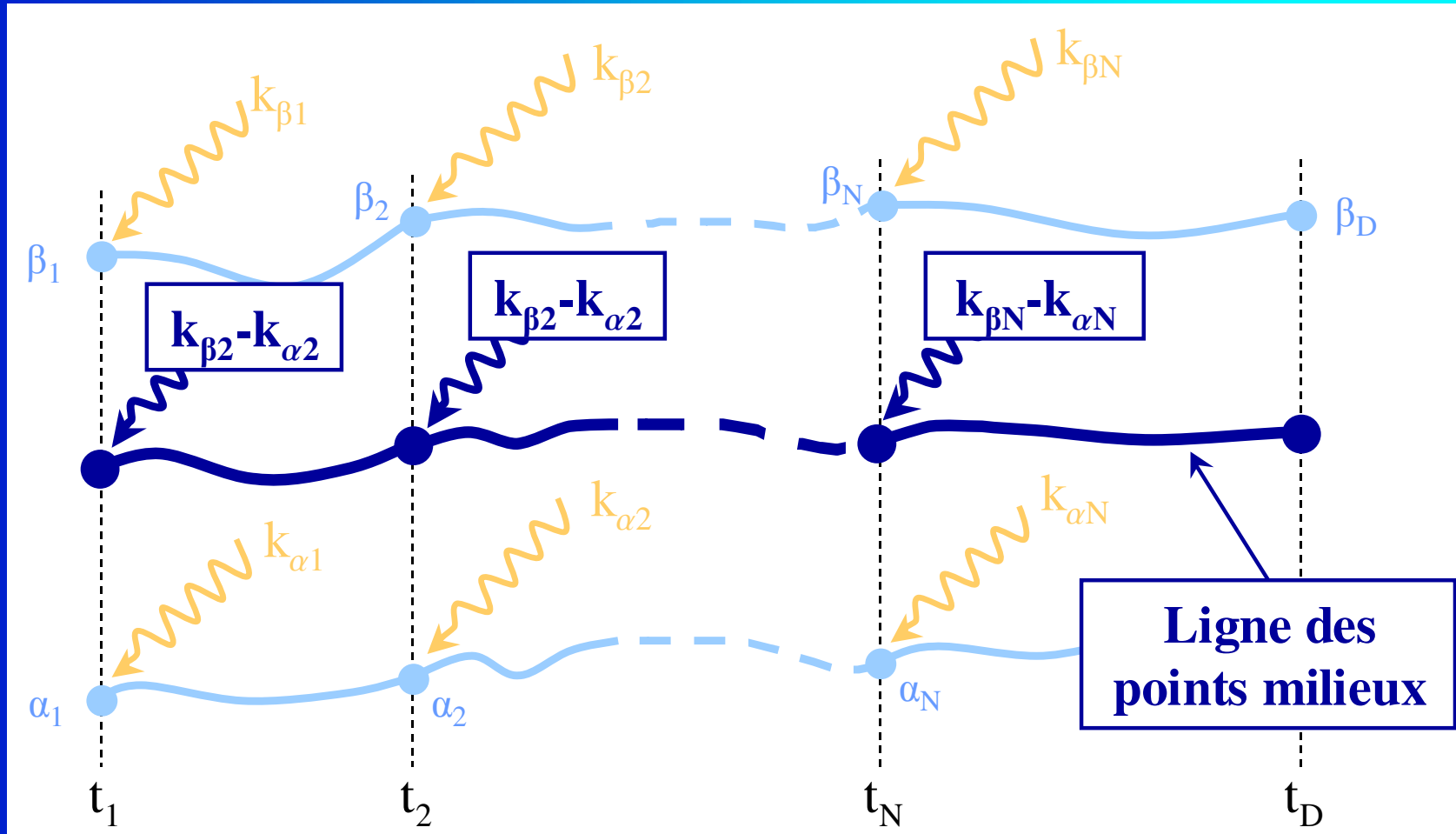
$$\Delta\phi_{\beta\alpha} =$$

$$\sum_{i=1}^N (\vec{k}_{\beta i} - \vec{k}_{\alpha i}) \cdot \vec{Q}_i$$

$$- \sum_{i=1}^N \left[ (\varphi_{\beta i} - \varphi_{\alpha i}) + (\omega_{\beta i} - \omega_{\alpha i}) t_i + (m_{\beta i} - m_{\alpha i}) c^2 \tau_i \right]$$

interprétation: ligne de points milieux avec interactions effectives

# Ligne de points milieux équivalente



⇒ méthode efficace d'obtention du déphasage

# Compensation essentielle

observation:

$$\Delta\phi_{action} + \Delta\phi_{sep} \approx 0$$

**Origine ?**

invariant symplectique précédent

**Validité ?**

Si géométrie symétrique et masses identiques:

$$\Delta\phi_{action} + \Delta\phi_{sep} = 0 - \frac{\vec{k}_{\alpha final} + \vec{k}_{\beta final}}{2} \cdot (\vec{r}_{\beta final} - \vec{r}_{\alpha final})$$

**non-fermeture de l'interféromètre**  
( due aux termes quadratiques de  $H_{ext} \implies$  rotations, gradients... )

# Formule exacte du signal de franges

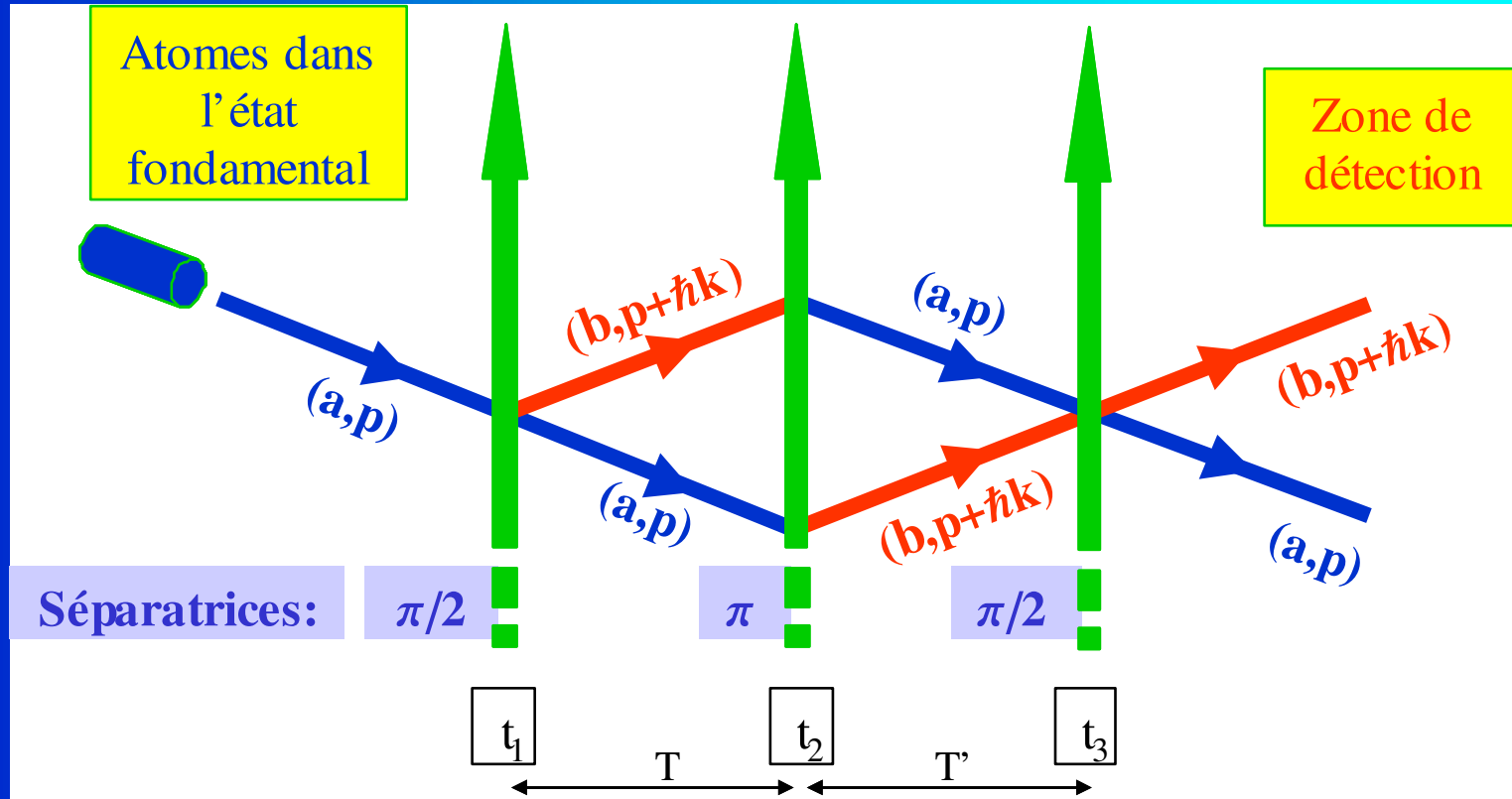
valable pour:

- $H_{\text{ext}}$  **au plus quadratique** ( dépendant du temps et 3D )
  - ⇒ Accélération + gradient + rotations : exact
  - ⇒ Gradient de gradient : perturbatif
- Toute **géométrie** d'interféromètre
- Deux types de modélisations des **séparatrices**:
  - ⇒ simplifiées (**temporelles et spatiales**)
  - ⇒ **ttt champ fort généralisée** (temporelle)
- Tous types de **sources** matérielles
- Tous types de processus de **détection**

# Plan

1. Introduction
2. Formalisme ABCD
3. Séparatrices laser
4. Calcul du déphasage
- 5. Application**
6. Conclusion & perspectives

# Interféromètres de Ramsey-Bordé symétriques



- gyromètres
- gravimètres et accéléromètres
- gradiomètres...

⇒ Stanford, Yale,  
Hanovre, Paris,  
Florence, projet spatial  
européen HYPER...

## Déphasage global avec modélisations simplifiées des séparatrices laser

$$\begin{aligned} \Delta\phi = & \vec{k} \cdot [1 + A(T + T') - 2A(T)] \cdot \vec{r}_1 \\ & + \vec{k} \cdot [B(T + T') - 2B(T)] \cdot \left( \frac{\vec{p}_1}{m} + \frac{\hbar\vec{k}}{2m} \right) \\ & + \vec{k} \cdot [\vec{\xi}(T + T') - 2\vec{\xi}(T)] - (\varphi_1 - 2\varphi_2 + \varphi_3) \end{aligned}$$

⇒ **Généralisation des formules antérieures:**  
gyrométrie et gravimétrie pures (Bordé 2001 & 2002)

On retrouve bien sûr  
les **résultats**  
**perturbatifs usuels:**

déphasage Sagnac:

$$\Delta\phi = \frac{2m}{\hbar} \Omega * Aire$$

et formule de Wolf-Tourenç (1999)

# Des termes correctifs non-négligeables

$A, B, \vec{\xi}$  ?

- **expression analytique** (pour  $H_{\text{ext}}$  indép. du temps)
- **développements de Taylor** en  $\Omega T$  et  $\gamma T^2 \dots$   
...à l'ordre voulu !

⇒ mise en évidence de termes directs ( $g, \Omega$  et  $\gamma$ ) et croisés pour toute orientation et toute géométrie

⇒ **Gyro – gradio - gravimètres**

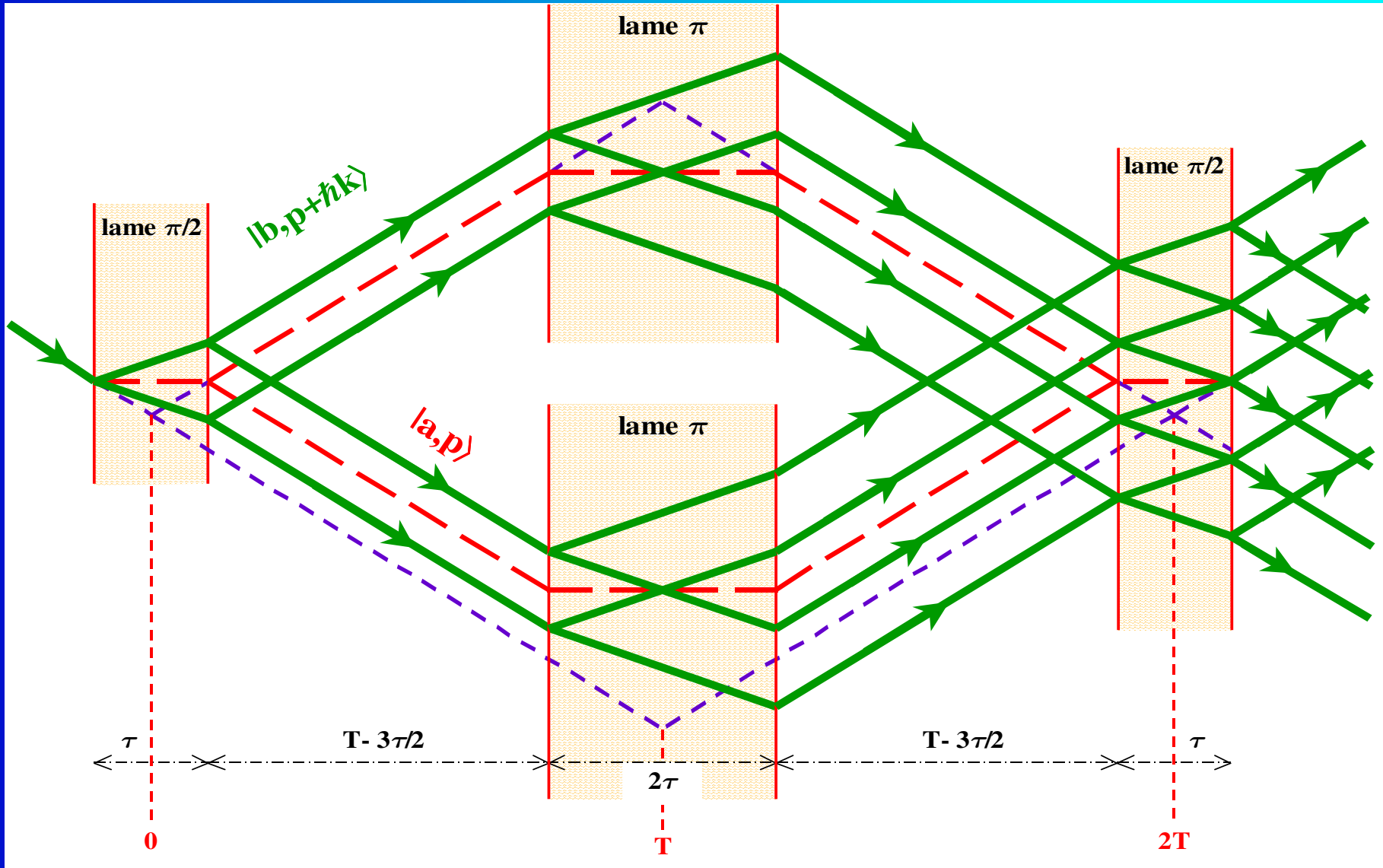
**Exemple de**  
terme correctif  
pour gyromètres:

$$\frac{7}{3} k_x T^2 \Omega_z v_y \gamma_y T^2$$

<u>État du nuage</u>	<b>T</b>	<u>Valeur relative</u>
<b>Thermique</b> (Yale)	0,003 s	<b>1.10<sup>-11</sup></b>
<b>Froid</b> (Paris)	0,03 s	<b>1.10<sup>-9</sup></b>
<b>Ultra-froid</b> (HYPER)	3 s	<b>9.10<sup>-6</sup></b>

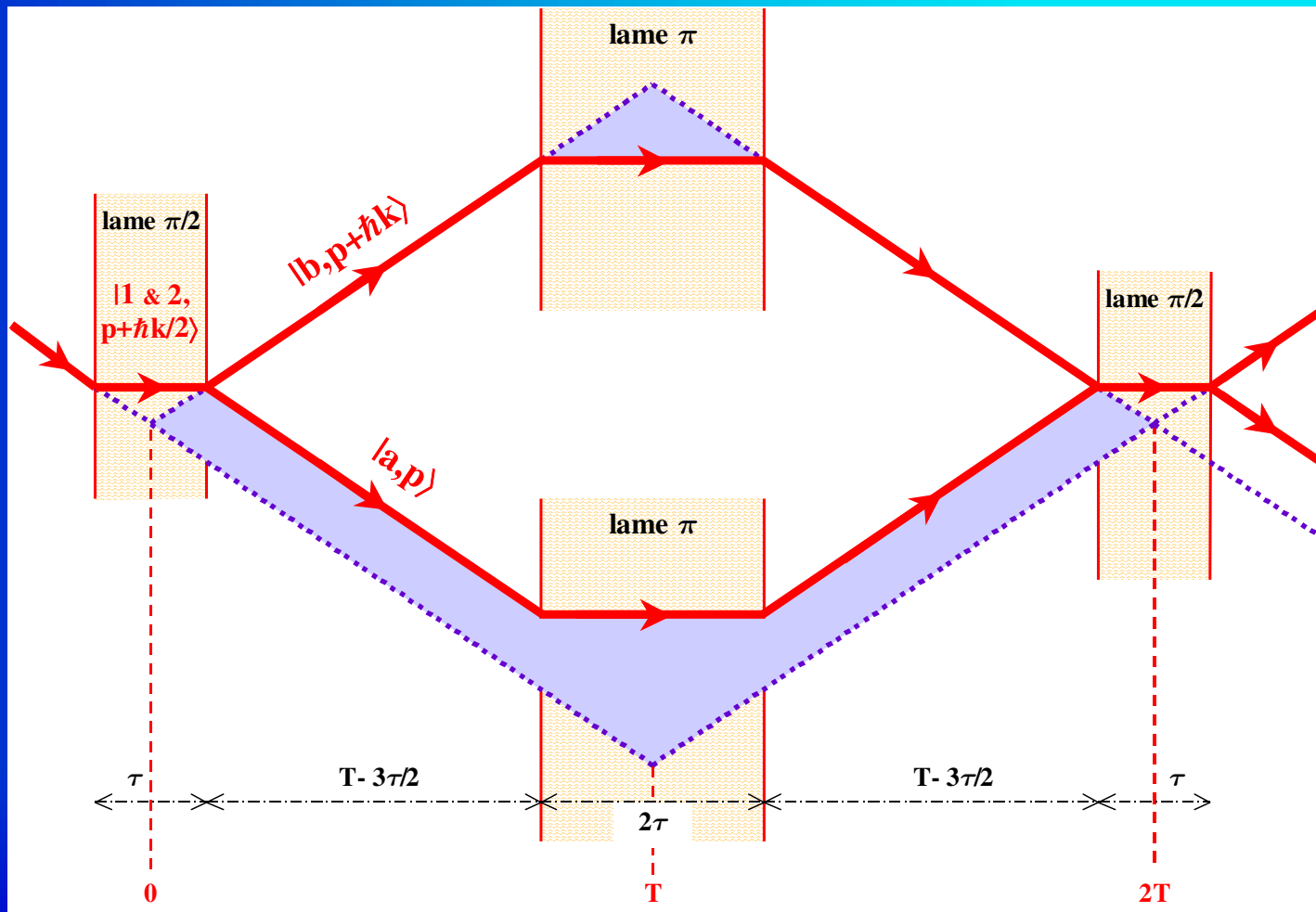


# Avec modélisation ttt champ fort généralisée



# Cas particulier: effet Borrmann généralisé

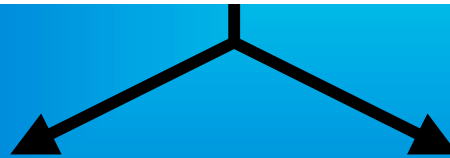
- **résonance** parfaite pour toutes les séparatrices et **faible dispersion** en vitesse du nuage atomique initial



## Effet Borrmann généralisé: corrections au déphasage

⇒ **calcul exact du déphasage** et développements de Taylor en  $\Omega T$  et  $\gamma T^2$

➤ mise en évidence de **corrections en puissance de  $\tau/T$**  quelque soit la géométrie et l'orientation de l'interféromètre



**modification  
de l'aire:**

$$1 - \tau/T - \frac{3}{4}(\tau/T)^2$$

**correction à l'angle  
initial de Bragg:**

$$"(3\Omega^2 + \gamma)\tau/T"$$

# Conclusions

➤ **étude et modélisation des séparatrices laser temporelles**

⇒ structuration dispersive en présence de  $H_{\text{ext}}$

➤ **nouvelle méthode de calcul du déphasage**

⇒ simplifications essentielles (invariants symplectiques)

➤ **expression analytique très générale du signal de franges pour une large variété d'interféromètres atomiques**

➤ **développement d'outils plus théoriques:**

⇒ méthode de l'élimination opératorielle

⇒ méthode des états adiabatiques successifs

⇒ autre approche du formalisme ABCD basée sur l'utilisation des opérateurs intégrales premières

# Perspectives

⇒ **tester la validité des corrections mises en évidence**

⇒ **estimer numériquement les erreurs dues aux différentes approximations** (processus de relaxation, multiples ordres de diffraction...)

⇒ **étudier et modéliser la structuration dispersive des séparatrices** dans le cas **spatial**

⇒ **appliquer la modélisation à d'autres géométries d'interféromètres** (interféromètres multi-dim.)

⇒ **généraliser le formalisme ABCD:**

➤ à tout Hamiltonien ⇒ opérateurs intégrales premières

➤ à 4D ⇒ temps propre comme var. conj. de la masse

**Merci**

[antoinec@ccr.jussieu.fr](mailto:antoinec@ccr.jussieu.fr)